

تنويع استعمال توزيع مختلط جديد لتقدير دالة بقاء كورونا

الاستاذ المساعد الدكتور ريسان عبد الامام زعلان

الباحثة: غفران خالد عبد الحسين

كلية الادارة والاقتصاد / قسم الاحصاء

جامعة البصرة¹

المستخلص :

في هذا البحث تم اقتراح خليط جديد من التوزيعين (Power Function) و (Truncated Burr III) اذ تم صياغة النموذج المقترح مع ايجاد بعض خصائص التوزيع الرياضية والاحصائية. ثم تم تقدير المعالم ودالة البقاء للتوزيع المقترح (Power Function –Truncated Burr III) باستخدام طرائق مختلفة للتقدير وهي طريقة المقدرات التجزئية (PS) وطريقة المربعات الصغرى (OLS), اذ وجد ان طريقة المقدرات التجزئية (PS) كانت الافضل في التقدير عند احجام العينات الكبيرة.

الكلمات المفتاحية: توزيع دالة القوة , توزيع Burr III , خلط التوزيعات , التوزيعات المبتورة

¹ بحث مستل من رسالة الماجستير الموسومة (مقارنة بين توزيعات مختلفة لاختيار افضل توزيع لتقدير دالة البقاء لمرضى كورونا) كلية الإدارة والاقتصاد قسم الإحصاء جامعة البصرة.

Using a new mixed distribution to estimate the corona survival function

Researcher Ghufraan Khalid Abdulhussein Assistant Professor Dr. Raissan Abdalimam Zalan

College of Administration and Economics / Department of Economics

University of Basrah

Abstract :

In this research, a new mixture of the two distributions (Power Function) and (Truncated Burr III) was proposed, as the proposed model was formulated with finding some mathematical and statistical properties of the distribution. Then the parameters and survival function of the proposed distribution (Power Function –Truncated Burr III) were estimated using different methods of estimation, namely: The method of Percentiles Estimation (PS) and method of Least Squares (OLS), as it was found that the method of Percentiles Estimation (PS) was the best in estimating at large sample sizes.

Keywords: power function distribution, Burr III distribution, mixing distributions, truncated distributions

المقدمة:

يمكن دراسة متوسط العمر المتوقع للإنسان والحيوان والأجهزة في العلوم الهندسية والطبية عن طريق توزيعات البقاء والمعدلية. التوزيعات الاحتمالية مهمة في الحياة لوصف الظواهر الواقعية والتنبؤ بها. تم استخدام التوزيعات لنمذجة البيانات في العديد من مجالات الطب ، والبيئة ، والاقتصاد ، والهندسة ، وغيرها. لكن في بعض الحالات ، لا تكون التوزيعات الاحتمالية الكلاسيكية مناسبة للظاهرة المدروسة ، ولتحسين ملاءمة البيانات للتوزيع ، تم إنشاء عائلات جديدة من التوزيعات ، وهي التوزيعات المختلطة. لذلك، سيتم الحصول على التوزيعات المختلطة عن طريق إضافة واحد أو أكثر من المعلمات إلى التوزيع لجعل هذه التوزيعات أكثر مرونة لتطبيقها العملي على البيانات الحقيقية.

2 مشكلة البحث:

مع التطور الحاصل في أنواع البيانات ، بدأت تظهر العديد من المشاكل في نمذجة هذه البيانات. وتم استخدام التوزيعات الاحتمالية التقليدية لتمثيل البيانات ، ولأن التوزيعات الاحتمالية الكلاسيكية ليست كافية لشرح بعض الظواهر العلمية ، نشأت الحاجة لإيجاد توزيعات احتمالية جديدة تكون أكثر مرونة في معالجة البيانات ونمذجتها وهي التوزيعات الاحتمالية المختلطة.

3 هدف البحث:

يهدف البحث الى بناء نموذج احتمالي جديد باستخدام خلط التوزيعات وبعدها اشتقاق الخصائص الاحصائية للتوزيع الجديد فضلا عن تقدير معلماته ومن ثم المقارنة بين طريقتي التقدير وهما المربعات الصغرى والمقدرات التجزئية واختيار افضل طريقة بأستخدام متوسط مربعات الخطأ التكاملية IMSE واستخدام الطريقة الافضل في تقدير دالة البقاء لمرضى كورونا.

4 توزيع Power Function: (3)

يعد توزيع دالة القوة أحد التوزيعات المهمة والتي يتم استخدامها بشكل متكرر في نمذجة بيانات الفشل ، وتوزيع دالة القوة هو حالة خاصة لتوزيع باريتو..
إذا كان x متغيراً عشوائياً مستمراً تكون دالة الكثافة الاحتمالية كما يلي:

$$f(x) = \frac{\alpha x^{\alpha-1}}{\beta^\alpha} \quad 0 \leq x \leq \beta \quad \alpha, \beta > 0 \quad \dots (1)$$

(Scale parameter معلمة القياس (β) ، Shape parameter معلمة شكل α حيث

اما دالة التوزيع التراكمية فتكون على النحو الاتي:

$$F(x) = \frac{x^\alpha}{\beta^\alpha} \quad \dots (2)$$

5 توزيع Burr III: (8),(10)

تم تقديم توزيع Burr لأول مرة من قبل الباحث Burr (1942) الذي طور اثني عشر نوعاً من الدوال التراكمية التي تم استخدامها لتحليل ونمذجة بيانات العمر. توزيع Burr III هو احد التوزيعات المرنة الذي يستخدم لنمذجة البيانات التي قدمها Burr. تعطى دالة التراكمية للتوزيع كما يلي:

$$F(x) = (1 + x^{-\lambda})^{-\theta} \quad \dots (3)$$

اما دالة الكثافة الاحتمالية فتعطى بالشكل الاتي:

$$f(x) = \lambda \theta x^{-\lambda-1} (1 + x^{-\lambda})^{-\theta-1}, \quad 0 < x < \infty \quad \lambda, \theta > 0 \quad \dots (4)$$

حيث ان كلا المعلمتين (λ, θ) هما معلمات شكل (Shape parameter)

6 توزيع Burr III المبتور: (12)

التوزيعات الاحتمالية المقطعة لها العديد من التطبيقات في مختلف المجالات ويتم أخذها عندما يكون النطاق الكامل لمتغير عشوائي غير قابل للملاحظة أو عندما يتم تجاهل مجموعة من القيم المتغيرة العشوائية. سيتم اقتطاع التوزيع من جهة اليمين من خلال تطبيق العلاقة الاتية:

$$f^*(x) = \frac{f(x)}{F(b)} \quad 0 < x < b \quad \dots (5)$$

نقوم بتعويض دالة الكثافة الاحتمالية والدالة التراكمية بعد التعويض عن X بقيمة العليا المبتورة لتوزيع (Burr III) نحصل على:

$$f^*(x) = \frac{\lambda \theta x^{-\lambda-1} (1+x^{-\lambda})^{-\theta-1}}{(1+\beta^{-\lambda})^{-\theta}} \quad 0 < x < \beta \quad \dots (6)$$

حيث ان كلا المعلمتين (λ, θ) هما معلمات شكل (Shape parameter) اما β فتعد معلمة القياس (Scale parameter).

7 توزيع Power Function – Truncated Burr III المختلط: (9)

التوزيعات المختلطة هي مزيج من اثنين أو أكثر من التوزيعات التي تنشأ عندما تكون المجموعات السكانية غير متجانسة. التوزيعات المختلطة لها وزن ثابت. سيتم خلط التوزيعين باستخدام العلاقة الاتية:

$$g(x) = w_1 f_1(x) + w_2 f_2^*(x)$$

$$w_1 + w_2 = 1 \quad w_2 = 1 - w_1$$

$$g(x) = w_1 f_1(x) + (1 - w_1) f_2^*(x)$$

$f_1(x)$ تمثل توزيع دالة القوة Power Function Distribution

$f_2^*(x)$ تمثل توزيع دالة (Burr III) المبتور (Truncated Burr III Distribution)

على فرض ان $w_1 = \gamma$ اذن:

$$g(x) = \gamma f_1(x) + (1 - \gamma) f_2(x) \quad \dots (7)$$

$$g(x) = \gamma \frac{\alpha x^{\alpha-1}}{\beta^\alpha} + (1 - \gamma) \frac{\lambda \theta x^{-\lambda-1} (1 + x^{-\lambda})^{-\theta-1}}{(1 + \beta^{-\lambda})^{-\theta}}, 0 < x < \beta \quad \dots (8)$$

حيث ان المعلمات $(\alpha, \lambda, \theta)$ معالم شكل (Shape parameters) اما β فهي معلمة قياس (Scale parameter) γ , معلمة الخلط (Mixed parameter).

ولاثبات دالة التوزيع المذكورة أنفاً انها دالة كثافة احتمالية يجب اثبات:

$$\int_0^\beta g(x, \alpha, \beta, \lambda, \theta, \gamma) dx = 1$$

$$\int_0^\beta \gamma \frac{\alpha x^{\alpha-1}}{\beta^\alpha} + (1 - \gamma) \frac{\lambda \theta x^{-\lambda-1} (1 + x^{-\lambda})^{-\theta-1}}{(1 + \beta^{-\lambda})^{-\theta}} dx$$

$$= \frac{\gamma \alpha}{\beta^\alpha} \left[\frac{x^\alpha}{\alpha} \right]_0^\beta + \frac{(1 - \gamma)}{(1 + \beta^{-\lambda})^{-\theta}} * (1 + \beta^{-\lambda})^{-\theta}$$

$$= \gamma + 1 - \gamma$$

$$= 1$$

8 الدالة التراكمية لتوزيع Power Function – Truncated Burr III: (8)

$$G(x) = \int_0^x g(u) du$$

$$G(x) = \int_0^x \gamma \frac{\alpha u^{\alpha-1}}{\beta^\alpha} + (1 - \gamma) \frac{\lambda \theta u^{-\lambda-1} (1 + u^{-\lambda})^{-\theta-1}}{(1 + \beta^{-\lambda})^{-\theta}} du$$

$$G(x) = \frac{\gamma x^\alpha}{\beta^\alpha} + \frac{(1 - \gamma)}{(1 + \beta^{-\lambda})^{-\theta}} * (1 + x^{-\lambda})^{-\theta} \quad \dots (9)$$

9 دالة البقاء لتوزيع Power Function – Truncated Burr III : (5),(6)

$$S(x) = 1 - G(x) = \frac{\beta^\alpha(1 + \beta^{-\lambda})^{-\theta} - \gamma x^\alpha(1 + \beta^{-\lambda})^{-\theta} - (1 - \gamma)\beta^\alpha(1 + x^{-\lambda})^{-\theta}}{\beta^\alpha(1 + \beta^{-\lambda})^{-\theta}} \quad \dots (10)$$

10 دالة المخاطرة لتوزيع Power Function – Truncated Burr III : (5),(6)

$$h(x) = \frac{g(x)}{S(x)} = \frac{\gamma \alpha x^{\alpha-1}(1 + \beta^{-\lambda})^{-\theta} + (1 - \gamma)\lambda \theta \beta^\alpha x^{-\lambda-1}(1 + x^{-\lambda})^{-\theta-1}}{\beta^\alpha(1 + \beta^{-\lambda})^{-\theta} - \gamma x^\alpha(1 + \beta^{-\lambda})^{-\theta} - (1 - \gamma)\beta^\alpha(1 + x^{-\lambda})^{-\theta}} \quad \dots (11)$$

11 الخصائص الهيكلية لتوزيع Power Function – Truncated Burr III :

1- العزوم اللامركزية (13)

$$\mu_r^* = E(x^r) = \int_0^\beta x^r g(x) dx$$

$$\mu_r^* = E(x^r) = \frac{\gamma \alpha \beta^r}{\alpha + r} + \frac{(1 - \gamma)\theta}{(1 + \beta^{-\lambda})^{-\theta}} (-1)^{-\frac{r}{\lambda}} \beta \left(\beta, 1 - \frac{r}{\lambda}, -\theta \right) \quad \dots (12)$$

إذا كانت $r=1$ فإنها تمثل الوسط الحسابي للتوزيع

أما لأيجاد التباين فنستخدم الصيغة الآتية:

$$v(x) = E(x^2) - (E(x))^2 \quad \dots (13)$$

2- العزوم المركزية (11)

$$\mu_k = E(x - E(x))^k$$

$$\mu_k = E \left[\sum_{j=0}^k C_j^k (-1)^j x^{k-j} \mu_1^j \right] \quad \dots (14)$$

12 طرائق التقدير:

1- طريقة المربعات الصغرى OLS : (1),(4)

إنها إحدى الطرائق المهمة لتقدير المعلمات وتعتمد على وجود علاقة بين متغيرين أو أكثر. تعتمد هذه الطريقة على تحديد الخطأ العشوائي بناءً على بيانات المراقبة ، ويتم تمثيلها بتقليل صناديق الخطأ. هذه الطريقة متسقة وغير متحيزة.

تكون صيغة الدالة كما يلي:

$$Y_i = a + bX + e_i$$

فهو المتغير المستقل (التوضيحي). X هو المتغير المعتمد (الاستجابة) أما Y حيث ان

$$Q = \sum_{i=1}^n [G(x) - E(\hat{G}(x_i))]^2$$

(تمثل تقدير غير متحيز لدالة التوزيع التجميعي $\hat{G}(x_i)$)

$$\hat{G}(x_i) = \frac{i}{n+1}$$

حيث (i) عدد صحيح موجب يمثل مرتبة المشاهدة.

($\hat{G}(x_i)$) تمثل تقدير غير متحيز لدالة التوزيع التجميعي.

$$E(\hat{G}(x_i)) = \frac{i}{n+1}$$

$$Q = \sum_{i=1}^n \left[\frac{\gamma x^\alpha}{\beta^\alpha} + \frac{(1-\gamma)}{(1+\beta^{-\lambda})^{-\theta}} * (1+x^{-\lambda})^{-\theta} - \frac{i}{n+1} \right]^2 \quad \dots (15)$$

باشتقاق الدالة المذكورة أنفاً بالنسبة للمعلمات نحصل على نظام المعادلات الآتية:

$$\frac{dQ}{d\alpha} = \left\{ 2 \sum_{l=1}^N \left[\frac{\gamma x^\alpha}{\beta^\alpha} + \frac{(1-\gamma)}{(1+\beta^{-\lambda})^{-\theta}} * (1+x^{-\lambda})^{-\theta} - \frac{i}{n+1} \right] * \left[\frac{\gamma x^\alpha \ln(x) - \gamma x^\alpha \ln(\beta)}{\beta^\alpha} \right] \right\} =$$

$$0 \quad \dots (15)$$

$$\frac{dQ}{d\beta} =$$

$$\left\{ 2 \sum_{l=1}^N \left[\frac{\gamma x^\alpha}{\beta^\alpha} + \frac{(1-\gamma)}{(1+\beta^{-\lambda})^{-\theta}} * (1+x^{-\lambda})^{-\theta} - \frac{i}{n+1} \right] * \left[\frac{-\gamma x^\alpha \alpha}{\beta^{\alpha+1}} - \frac{(1-\gamma)(1+x^{-\lambda})^{-\theta} \theta \lambda \beta^{-\lambda-1}}{(1+\beta^{-\lambda})^{-\theta+1}} \right] \right\} = 0 \quad \dots (16)$$

$$\frac{dQ}{d\lambda} = \left\{ 2 \sum_{l=1}^N \left[\frac{\gamma x^\alpha}{\beta^\alpha} + \frac{(1-\gamma)}{(1+\beta^{-\lambda})^{-\theta}} * (1+x^{-\lambda})^{-\theta} - \frac{i}{n+1} \right] * \left[- \frac{(1-\gamma)(1+x^{-\lambda})^{-\theta} \theta \beta^{-\lambda} \ln(\beta)}{(1+\beta^{-\lambda})^{-\theta} (1+\beta^{-\lambda})} \right] \right\} = 0 \quad ..(17)$$

$$\frac{dQ}{d\theta} = \left\{ 2 \sum_{l=1}^N \left[\frac{\gamma x^\alpha}{\beta^\alpha} + \frac{(1-\gamma)}{(1+\beta^{-\lambda})^{-\theta}} * (1+x^{-\lambda})^{-\theta} - \frac{i}{n+1} \right] * \left[- \frac{(1-\gamma)(1+x^{-\lambda})^{-\theta} \ln(1+x^{-\lambda})}{(1+\beta^{-\lambda})^{-\theta}} + \frac{(1-\gamma)(1+x^{-\lambda})^{-\theta} \ln(1+\beta^{-\lambda})}{(1+\beta^{-\lambda})^{-\theta}} \right] \right\} = 0 \quad \dots (18)$$

$$\frac{dQ}{d\gamma} = \left\{ 2 \sum_{l=1}^N \left[\frac{\gamma x^\alpha}{\beta^\alpha} + \frac{(1-\gamma)}{(1+\beta^{-\lambda})^{-\theta}} * (1+x^{-\lambda})^{-\theta} - \frac{i}{n+1} \right] * \left[\frac{x^\alpha}{\beta^\alpha} - \frac{(1+x^{-\lambda})^{-\theta}}{(1+\beta^{-\lambda})^{-\theta}} \right] \right\} = 0 \quad .. (19)$$

المعادلات تمثل نظام معادلات لاخطية غير قابلة للحل الا باستعمال إحدى الطرائق الطريقة العددية من اجل الحصول على المقدرات وقد تم استخدام طريقة نيوتن-رافسن.

2- المقدرات التجزئية PS (8)

تعتمد هذه الطريقة على دالة التوزيع التراكمي. بفرض ان P_i هو مقدر دالة التوزيع التجميعي وبجعل الدالة في نهايتها الصغرى من خلال ايجاد المقدر باستخدام الصيغة الاتية:

$$Q = \sum_{i=1}^n [p_i - G(x_i)]^2$$

حيث P_i هي المقدر اللامعلمي وياخذ الصيغة الاتية:

$$p_i = \frac{i - 0.3}{n + 0.25}$$

$$Q = \sum_{i=1}^n \left[\frac{i - 0.3}{n + 0.25} - \frac{\gamma x^\alpha}{\beta^\alpha} - \frac{(1-\gamma)}{(1+\beta^{-\lambda})^{-\theta}} * (1+x^{-\lambda})^{-\theta} \right]^2 \quad \dots (20)$$

نقوم باشتقاق المعادلة المذكورة أنفأً بالنسبة للمعلمات نحصل على:

$$\frac{dQ}{d\alpha} = \left\{ 2 \sum_{i=1}^n \left[\frac{i-0.3}{n+0.25} - \frac{\gamma x^\alpha}{\beta^\alpha} - \frac{(1-\gamma)}{(1+\beta^{-\lambda})^{-\theta}} * (1+x^{-\lambda})^{-\theta} \right] * \left[\frac{-\gamma x^\alpha \ln(x) + \gamma x^\alpha \ln(\beta)}{\beta^\alpha} \right] \right\} \dots (21)$$

$$\frac{dQ}{d\beta} = \left\{ 2 \sum_{i=1}^n \left[\frac{i-0.3}{n+0.25} - \frac{\gamma x^\alpha}{\beta^\alpha} - \frac{(1-\gamma)}{(1+\beta^{-\lambda})^{-\theta}} * (1+x^{-\lambda})^{-\theta} \right] * \left[\frac{\gamma \alpha x^\alpha}{\beta^{\alpha+1}} + \frac{(1-\gamma)\theta \lambda \beta^{-\lambda-1} (1+x^{-\lambda})^{-\theta}}{(1+\beta^{-\lambda})^{-\theta+1}} \right] \right\} \dots (22)$$

$$\frac{dQ}{d\lambda} = \left\{ 2 \sum_{i=1}^n \left[\frac{i-0.3}{n+0.25} - \frac{\gamma x^\alpha}{\beta^\alpha} - \frac{(1-\gamma)}{(1+\beta^{-\lambda})^{-\theta}} * (1+x^{-\lambda})^{-\theta} \right] * \left[\frac{-(1-\gamma)\theta (1+x^{-\lambda})^{-\theta} x^{-\lambda} \ln(x)}{(1+x^{-\lambda})(1+\beta^{-\lambda})^{-\theta}} + \frac{(1-\gamma)\theta (1+x^{-\lambda})^{-\theta} \beta^{-\lambda} \ln(\beta)}{(1+\beta^{-\lambda})^{-\theta+1}} \right] \right\} \dots (23)$$

$$\frac{dQ}{d\theta} = \left\{ 2 \sum_{i=1}^n \left[\frac{i-0.3}{n+0.25} - \frac{\gamma x^\alpha}{\beta^\alpha} - \frac{(1-\gamma)}{(1+\beta^{-\lambda})^{-\theta}} * (1+x^{-\lambda})^{-\theta} \right] * \left[\frac{(1-\gamma)(1+x^{-\lambda})^{-\theta} \ln(1+x^{-\lambda})}{(1+\beta^{-\lambda})^{-\theta}} - \frac{(1-\gamma)(1+x^{-\lambda})^{-\theta} \ln(1+\beta^{-\lambda})}{(1+\beta^{-\lambda})^{-\theta}} \right] \right\} \dots (24)$$

$$\frac{dQ}{d\gamma} = \left\{ 2 \sum_{i=1}^n \left[\frac{i-0.3}{n+0.25} - \frac{\gamma x^\alpha}{\beta^\alpha} - \frac{(1-\gamma)}{(1+\beta^{-\lambda})^{-\theta}} * (1+x^{-\lambda})^{-\theta} \right] * \left[\frac{-x^\alpha}{\beta^\alpha} + \frac{(1+x^{-\lambda})^{-\theta}}{(1+\beta^{-\lambda})^{-\theta}} \right] \right\} \dots (25)$$

المعادلات تمثل نظام معادلات لاخطية غير قابلة للحل الا باستعمال إحدى الطرائق العددية من اجل الحصول على المقدرات وقد تم استخدام طريقة نيوتن-رافسن.

13 مفهوم المحاكاة: (2),(8)

تم تنفيذ المحاكاة باستعمال برنامج Mathematic-13 على أربعة احجام عينات (30-60-100-150) لمعرفة تأثير حجم العينة في نتائج طرائق التقدير وايضا تم الاعتماد على مجموعة من النماذج الافتراضية لمعاملات توزيع (Power Function – Truncated Burr III) وقد تم تكرار التجربة 1000 مرة لكل نموذج للحصول على اعلى تجانس ممكن

الجدول (1) القيم الاولية للمعلمات والنماذج المقترحة

Model	α	β	θ	λ	γ
Model 1	4	4	2	2	0.5
Model 2	4	4	2	2	0.1
Model 3	4	4	2	2	0.9
Model 4	3	1	1	3	0.7
Model 5	3	1	1	3	0.1
Model 6	1	3	1	3	0.1
Model 7	1	3	2	1	0.1
Model 8	1	3	2	1	0.8
Model 9	3	2	5	1	0.1
Model 10	1	1	1	1	0.5

تم استخدام طريقة الرفض والقبول لتوليد الارقام العشوائية وذلك لتعذر الحصول على دالة المعكوس لدالة التوزيع التراكمي.

14 مناقشة نتائج المحاكاة:

للمقارنة بين طرائق التقدير للمعلمات تم الاعتماد على اسلوب الرتب سيتم اعطاء كل طريقة تقدير رتبة من الاصغر التي تعطى الى القيمة الاقل الى الاكبر التي تعطى للقيمة الاكبر وتسمى الرتب في هذه المرحلة بالرتب الجزئية ومن ثم تأخذ مجموع الرتب الجزئية لكل طريقة تقدير واعطاء رتب جديدة لها وهنا تسمى الرتب بالرتب الكلية.

الجدول (2) الرتب الكلية لمتوسط مربعات الخطأ التكاملية IMSE لطرائق التقدير كافة ولجميع نماذج قيم المعلمات الافتراضية واحجام العينات كافة

n		OLS	PS
30	Sum of Ranks	10	20
	Overall Ranks	1	2
60	Sum of Ranks	12.5	17.5
	Overall Ranks	1	2
100	Sum of Ranks	16	14
	Overall Ranks	2	1
150	Sum of Ranks	19.5	10.5
	Overall Ranks	2	1

من الجدول المذكور أنفأ نستنتج ان طريقة المربعات الصغرى هي الافضل عند حجم العينة 30-60 فقد كانت تحتل المرتبة الاولى اما بالنسبة للعينة 100-150 فقد كانت تحتل المرتبة الثانية

تنوع استعمال توزيع مختلط جديد لتقدير دالة بقاء كورونا

طريقة المقدرات التجزئية كانت تحتل المرتبة الثانية بالنسبة لحجم العينة 30-60 اما بالنسبة لحجم العينة 100-150 فقد كانت تحتل المرتبة الاولى وهذا يدل على ملاءمتها للعينات الكبيرة.

15 التطبيق العملي على مرضى كورونا

اخذت عينة عشوائية بحجم $n=140$ والتي تتمثل بمدى البقاء على قيد الحياة بالاسبوع من وقت التشخيص والعلاج الى حين الوفاة لمرضى فايروس كورونا.

الجدول (3) يبين ابرز احصاءات عينة البيانات الحقيقية:

mean	1.58673
Variance	0.875713
mean	0.488767
Variance	2.67191
mean	1.57143
Variance	0.935796

16 تحليل البيانات الحقيقية

تم تحليل البيانات الحقيقية بطريقة المقدرات التجزئية . تم استخدام اختبار Kolmogorov-Smirnov لمعرفة اذا كانت

البيانات تتبع التوزيع (Power Function- Truncated Burr III) وحسب الفرضية :

H_0 : (Power Function- Truncated Burr III) البيانات تتبع التوزيع

H_1 : (Power Function- Truncated Burr III) البيانات لا تتبع التوزيع

	Statistic	P-Value
Kolmogorov-Smirnov	0.080964	0.301357

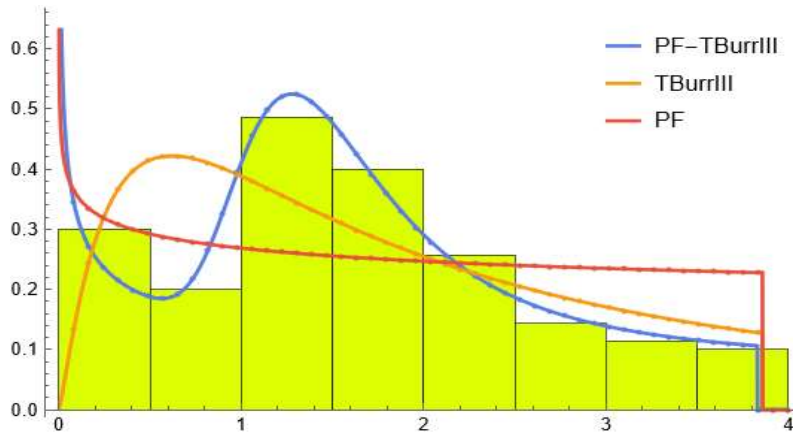
نلاحظ من الجدول المذكور أنفاً ان قيمة P-value اكبر من مستوى المعنوية (0.05) لذلك نقبل فرضية العدم والبيانات

تتوزع على وفق توزيع (Power Function- Truncated Burr III).

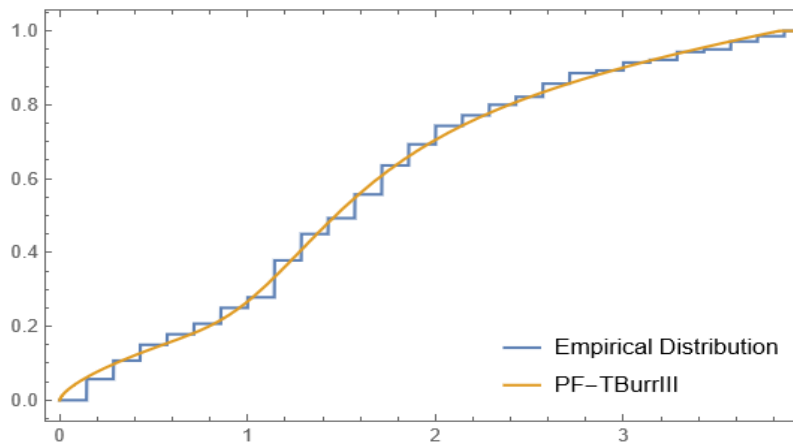
Dist.	Parameter					Log (l)	AIC	AIC _c
	α	β	θ	λ	γ			
PF-TBurrIII	0.66191	3.7994	3.42206	3.39451	0.532881	174.909	359.818	360.266
TBurrIII	-	3.85714	2.37274	0.94299	-	178.254	362.509	362.685
PF	0.878144	3.85714	-	-	-	187.755	379.51	379.597

من الجدول المذكور أنفاً يتضح ان افضل توزيع هو (Power Function- Truncated Burr III) وذلك لامتلاكه اقل قيمة للمعايير.

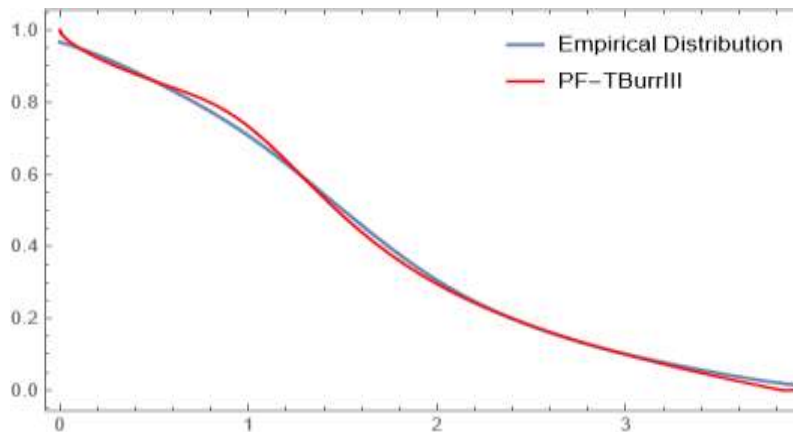
الشكل الاتي يبين مدى ملائمة توزيع (Power Function- Truncated Burr III) :



دالة Power لتوزيع Pdf الشكل (1) دالة
مقارنة Function- Truncated Burr III
ببقية التوزيعات بالنسبة للبيانات
الحقيقية.



دالة Power لتوزيع Cdf الشكل (2) دالة
Function- Truncated Burr III
مقارنة ببقية التوزيعات بالنسبة
للبينات الحقيقية.



دالة البقاء لتوزيع 3 الشكل (Power
Function- Truncated Burr III
مقارنة ببقية التوزيعات بالنسبة
للبينات الحقيقية.

بعد تحليل البيانات تم استخراج قيم كل من دالة البقاء ودالة التوزيع التراكمية ودالة المخاطرة كما موضحة بالجدول
الآتي:

الجدول (4) يبين قيم دالة البقاء ودالة التوزيع التراكمي ودالة المخاطرة

i	t_i	Cdf	S(x)	h(x)	i	t_i	Cdf	S(x)	h(x)
1	0.14	0.060748	0.939252	0.299672	56	1.29	0.406135	0.593865	0.886049
2	0.14	0.060748	0.939252	0.299672	57	1.29	0.406135	0.593865	0.886049
3	0.14	0.060748	0.939252	0.299672	58	1.29	0.406135	0.593865	0.886049
4	0.14	0.060748	0.939252	0.299672	59	1.29	0.406135	0.593865	0.886049
5	0.14	0.060748	0.939252	0.299672	60	1.29	0.406135	0.593865	0.886049
6	0.14	0.060748	0.939252	0.299672	61	1.29	0.406135	0.593865	0.886049
7	0.14	0.060748	0.939252	0.299672	62	1.29	0.406135	0.593865	0.886049
8	0.14	0.060748	0.939252	0.299672	63	1.29	0.406135	0.593865	0.886049
9	0.29	0.096114	0.903886	0.246353	64	1.43	0.480026	0.519974	0.965127
10	0.29	0.096114	0.903886	0.246353	65	1.43	0.480026	0.519974	0.965127
11	0.29	0.096114	0.903886	0.246353	66	1.43	0.480026	0.519974	0.965127
12	0.29	0.096114	0.903886	0.246353	67	1.43	0.480026	0.519974	0.965127
13	0.29	0.096114	0.903886	0.246353	68	1.43	0.480026	0.519974	0.965127
14	0.29	0.096114	0.903886	0.246353	69	1.43	0.480026	0.519974	0.965127
15	0.29	0.096114	0.903886	0.246353	70	1.57	0.548275	0.451725	0.998722
16	0.43	0.125724	0.874276	0.22269	71	1.57	0.548275	0.451725	0.998722
17	0.43	0.125724	0.874276	0.22269	72	1.57	0.548275	0.451725	0.998722
18	0.43	0.125724	0.874276	0.22269	73	1.57	0.548275	0.451725	0.998722
19	0.43	0.125724	0.874276	0.22269	74	1.57	0.548275	0.451725	0.998722
20	0.43	0.125724	0.874276	0.22269	75	1.57	0.548275	0.451725	0.998722
21	0.43	0.125724	0.874276	0.22269	76	1.57	0.548275	0.451725	0.998722
22	0.57	0.152525	0.847475	0.217382	77	1.57	0.548275	0.451725	0.998722
23	0.57	0.152525	0.847475	0.217382	78	1.57	0.548275	0.451725	0.998722
24	0.57	0.152525	0.847475	0.217382	79	1.71	0.608605	0.391395	1.00517
25	0.57	0.152525	0.847475	0.217382	80	1.71	0.608605	0.391395	1.00517
26	0.71	0.180095	0.819905	0.25681	81	1.71	0.608605	0.391395	1.00517
27	0.71	0.180095	0.819905	0.25681	82	1.71	0.608605	0.391395	1.00517
28	0.71	0.180095	0.819905	0.25681	83	1.71	0.608605	0.391395	1.00517
29	0.71	0.180095	0.819905	0.25681	84	1.71	0.608605	0.391395	1.00517
30	0.86	0.215605	0.784395	0.377489	85	1.71	0.608605	0.391395	1.00517
31	0.86	0.215605	0.784395	0.377489	86	1.71	0.608605	0.391395	1.00517
32	0.86	0.215605	0.784395	0.377489	87	1.71	0.608605	0.391395	1.00517
33	0.86	0.215605	0.784395	0.377489	88	1.71	0.608605	0.391395	1.00517
34	0.86	0.215605	0.784395	0.377489	89	1.71	0.608605	0.391395	1.00517
35	0.86	0.215605	0.784395	0.377489	90	1.86	0.660855	0.339145	1.00002
36	1.00	0.266252	0.733748	0.562842	91	1.86	0.660855	0.339145	1.00002
37	1.00	0.266252	0.733748	0.562842	92	1.86	0.660855	0.339145	1.00002

38	1.00	0.266252	0.733748	0.562842	93	1.86	0.660855	0.339145	1.00002
39	1.00	0.266252	0.733748	0.562842	94	1.86	0.660855	0.339145	1.00002
40	1.14	0.332112	0.667888	0.748589	95	1.86	0.660855	0.339145	1.00002
41	1.14	0.332112	0.667888	0.748589	96	1.86	0.660855	0.339145	1.00002
42	1.14	0.332112	0.667888	0.748589	97	1.86	0.660855	0.339145	1.00002
43	1.14	0.332112	0.667888	0.748589	98	2.00	0.705872	0.294128	0.994348
44	1.14	0.332112	0.667888	0.748589	99	2.00	0.705872	0.294128	0.994348
45	1.14	0.332112	0.667888	0.748589	100	2.00	0.705872	0.294128	0.994348
46	1.14	0.332112	0.667888	0.748589	101	2.00	0.705872	0.294128	0.994348
47	1.14	0.332112	0.667888	0.748589	102	2.00	0.705872	0.294128	0.994348
48	1.14	0.332112	0.667888	0.748589	103	2.00	0.705872	0.294128	0.994348
49	1.14	0.332112	0.667888	0.748589	104	2.00	0.705872	0.294128	0.994348
50	1.14	0.332112	0.667888	0.748589	105	2.14	0.744813	0.255187	0.99552
51	1.14	0.332112	0.667888	0.748589	106	2.14	0.744813	0.255187	0.99552
52	1.14	0.332112	0.667888	0.748589	107	2.14	0.744813	0.255187	0.99552
53	1.14	0.332112	0.667888	0.748589	108	2.14	0.744813	0.255187	0.99552
54	1.29	0.406135	0.593865	0.886049	109	2.29	0.778813	0.221187	1.00866
55	1.29	0.406135	0.593865	0.886049	110	2.29	0.778813	0.221187	1.00866
111	2.29	0.778813	0.221187	1.00866	126	3.00	0.903152	0.096848	1.44548
112	2.29	0.778813	0.221187	1.00866	127	3.00	0.903152	0.096848	1.44548
113	2.43	0.808853	0.191147	1.03796	128	3.00	0.903152	0.096848	1.44548
114	2.43	0.808853	0.191147	1.03796	129	3.14	0.92253	0.07747	1.69829
115	2.43	0.808853	0.191147	1.03796	130	3.29	0.940812	0.059188	2.10519
116	2.57	0.835737	0.164263	1.08797	131	3.29	0.940812	0.059188	2.10519
117	2.57	0.835737	0.164263	1.08797	132	3.29	0.940812	0.059188	2.10519
118	2.57	0.835737	0.164263	1.08797	133	3.43	0.958185	0.041815	2.84075
119	2.57	0.835737	0.164263	1.08797	134	3.57	0.974794	0.025206	4.51817
120	2.57	0.835737	0.164263	1.08797	135	3.57	0.974794	0.025206	4.51817
121	2.71	0.860101	0.139899	1.16485	136	3.57	0.974794	0.025206	4.51817
122	2.71	0.860101	0.139899	1.16485	137	3.71	0.990757	0.009243	11.8699
123	2.71	0.860101	0.139899	1.16485	138	3.71	0.990757	0.009243	11.8699
124	2.71	0.860101	0.139899	1.16485	139	3.86	1	0	0
125	2.86	0.882444	0.117556	1.27837	140	3.86	1	0	0
Sum							70.3915	69.6085	147.002
Mean							0.5028	0.4972	1.05001

من الجدول المذكور أنفاً يتضح الآتي:

- 1- تتناقص دالة البقاء مع الوقت ، أي تتناسب عكسياً مع الوقت ، وهو ما يتوافق مع النظرية الإحصائية.
- 2- تقع قيم دالة التوزيع التراكمي بين صفر وواحد وتزداد مع الزمن ، وهو ما يتفق مع النظرية الإحصائية.

3- متوسط دالة البقاء على قيد الحياة هي 0.4972 أي أن احتمال بقاء المريض المصاب بالفيروس يبلغ حوالي 50٪.
4- دالة الخطر غير متكافئة ، لأنها تبدأ في الزيادة تدريجياً في بداية العلاج ، ثم تستقر بعض الشيء ، ثم تبدأ في الزيادة مرة أخرى لتصل إلى الحد الأقصى ، ثم تنخفض قيمتها تدريجياً.

الاستنتاجات والتوصيات:

في هذه الدراسة وجد توزيع (Power Function- Truncated Burr III) مع دراسة خواصها. كما تم تقدير معاملات التوزيع باستخدام طريقة المربعات الصغرى (OLS) والمقدرات التجزئية (PS) ، ثم تم اختيار أفضل طريقة تقدير باستخدام متوسط مربعات الخطأ التكاملي (IMSE) ، وكانت طريقة المقدرات التجزئية هي أفضل طريقة. إحدى النتائج التي حصلنا عليها هي أن دالة البقاء على قيد الحياة تتناقص بمرور الوقت وهذا يتوافق مع النظرية الإحصائية. تقع قيم الدالة التراكمية بين صفر وواحد وتتناسب طردياً مع الوقت. مجموع قيم دالة البقاء على قيد الحياة وقيم الدالة التراكمية تساوي واحدًا ، ومتوسط قيم دالة البقاء على قيد الحياة هو 0.4972 ، مما يعني أن احتمالية بقاء المريض على قيد الحياة تبلغ نسبة بقاء المصاب حوالي 50٪ .

المصادر

- 1- اموري هادي كاظم الحسنوي وباسم شلبية مسلم، (2002)، "القياس الاقتصادي المتقدم النظرية والتطبيق"، قسم الاحصاء، كلية الادارة والاقتصاد، جامعة بغداد، المكتبة الوطنية، دار الكتب والوثائق ببغداد.
- 2- زعلان، ريسان عبد الامام، (2008)، " بناء نموذج محاكاة لتحسين أداء أنشطة مركز أورام سرطان البصرة"، رسالة ماجستير في علوم الاحصاء، كلية الادارة والاقتصاد، جامعة البصرة.
- 3- سلمان، محمد صادق، (2020)، "بناء نموذج احتمالي لتوزيع دالة القوة الموسع لتقدير دالة المخاطرة الضبابية"، رسالة ماجستير في علوم الاحصاء، كلية الادارة والاقتصاد، جامعة كربلاء.
- 4- العاني، مي تحسين عبد الحليم، (2007)، "مقارنة بين طرائق تقدير المعولية في حالة الاجهاد والمتانة لأنموذجي باريتو ووبيل"، رسالة ماجستير في بحوث العمليات، كلية الادارة والاقتصاد، جامعة البصرة.
- 5- كريم، اثير عبد الزهرة، (2018) " تحليل دالة البقاء عندما يتناسب معامل الخطورة مع الزمن (دراسة تطبيقية)"، رسالة ماجستير في علوم الاحصاء، كلية الادارة والاقتصاد، جامعة كربلاء.
- 6- المحمداوي، حسام راضي نعيمة، (2022) ، " تحليل دالة المخاطرة بأستخدام نموذج انحدار cox للاطفال المصابين بمرض السرطان في مستشفى (البصرة التخصصي للاطفال)"، رسالة ماجستير في علوم الاحصاء، كلية الادارة والاقتصاد، جامعة البصرة.
- 7- مهدي، منتظر جمعة، (2021)، " التحويل التكميبي لتوزيع Burr XII مع تطبيق عملي"، رسالة ماجستير في علوم الاحصاء، كلية الادارة والاقتصاد، جامعة كربلاء.
- 8- Bismi. G. Nadh,(2005)," Bivariate Burr Distribution" , Dept. of statistic , Cochin University of Science and Technology.

- 9- Geoffrey Mclachlan, David Peel, "Finite Mixture Models" ,(1946),United States of America.
- 10- Kim, Chansoo, Kim, Woosuk, (2014), " Estimation of the Parameters of Burr type III Distribution Based on dual Generalized Order Statistics", Hindawi Publishing Corporation, The Scientific World Journal.
- 11- Michael B. Miller," Mathematics & Statistics for Financial Risk Management" (1973), United States of America.
- 12- Mohie El-Din M.M. and other, (2013), " On Mid-Truncated Distribution and Its Applications", Journal of Advance Research in Applied Mathematics,5(2), 20-38.
- 13- Richard J. Larsen, Morris L. Marx, " An Introduction to Mathematical Statistics and its Applications" , (2012), United States of America.